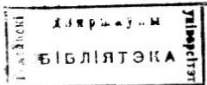


МИНИСТЕРСТВО ВЫШЕГО И СРЕДНЕГО СПЕЦИАЛЬНОГО ОБРАЗОВАНИЯ БСР

ГОМЕЛЬСКИЙ ГОСУДАРСТВЕННЫЙ УНИВЕРСИТЕТ

УЧЕБНО-МЕТОДИЧЕСКАЯ РАЗРАБОТКА  
к курсу "Математическое моделирование  
процесса разработки залежей нефти  
(на примере месторождений БСР)"  
для студентов пятого курса  
геологического факультета



Гомель 1987

Рекомендовано к печати кафедрой высшей математики  
инженерной геологии и гидрогеологии Томского государствен-  
ного университета

Автор разработки Р.В.Шаймуратов

Основное содержание читаемого курса посвящено одному из способов математического прогнозирования и регулирования процесса разработки залежей нефти с карбонатными коллекторами сложного геологического строения, обусловленного не только тектонической активностью, разыгравшее дислокации, проявлением соляного тектогенеза, но и смешанным типом коллектора - трещинно-порово-кавернозным. Разработка залежей проводится в условиях неоднинаковых дебитов скважин и произвольного размещения их на плоскости нефтесности

Рецензенты: А.Н.Березаев, зав.лабораторией анализа и проектирования разработки нефтяных месторождений ГКО Укргипро-  
нинефть, кандидат геолого-минер. наук; В.Г.Ходло, зав.кафед-  
рой инженерной геологии и гидрогеологии, доцент

#### ВВЕДЕНИЕ

При разработке нефтяных месторождений весьма ценно иметь возможность исследовать, прогнозировать и регулировать нефтеотдачу пласта. Одной из составляющих этого показателя является коэффициент охвата пласта заложением, определение которого тесно связано с изучением продвижения водонефтяного раздела (ВНР) в системе произвольно размещенных нефтяных и нагнетательных скважин. Основным этапом решения последней задачи является определение поля пластовых давлений и линий тока при соблюдении реальных граничных и начальных условий.

Из обширных литературных источников известно, что вопросы математической реализации перечисленных задач применительно к трещиноватым средам являются наиболее сложными в теории фильтрации. Поэтому целесообразны те условия, которые направлены на разработку приближенных методов, основанных на предварительном изучении и обосновании моделей фильтрации. При этом сака среда в зависимости от конкретных фактических данных может быть классифицирована как горная порода с хаотично расположенным трещинами (1); с трещинами, объединенными определенным образом в ориентированные системы (2); содержащая в подавляющем большинстве накротрещину (3) (случай избирательной интерференции скважин).

Поскольку второй случай (среда с анизотропными свойства-  
ми) легко сводится к первому путем "изотропизирующей деформации" [3+], а третий редко встречается на практике и частично изучен в [43], в данной работе рассматривается нефтяные залежи с чисто трещиноватыми и трещиновато-пористыми коллек-  
торами первого типа.

Из анализа известных методов оценки количественных пока-  
зателей притока (оттока) жидкостей к системе скважин в тре-  
щиноватом пласте [8, 14, 22, 27, 30, 35] следует, что они яв-  
ляются дальнейшим усовершенствованием общей методики проек-  
тирования и анализа разработки нефтяных месторождений, изло-  
женной в книге академика А.П.Крылова и др. [21]. В этих  
методах учтены такие особенности фильтрационных процессов в  
чисто трещиноватых и трещиновато-пористых породах, которые

РЕПОЗИТОРИЙ ГГУИ

имеет место при рассмотрении зависимости физических свойств пласта и жидкости от давления, нелинейности закона фильтрации в трещинах, кавернозной пропитки при вытеснении нефти водой с последующим использованием идеи метода эквивалентных фильтрационных сопротивлений В.П.Борисова [3]. При этом, как правило, предполагается типичное многогранное размещение скважин, ввод которых в каждом ряду с одинаковыми глубинами проводится практически одновременно. При разработке нефтяных месторождений небольших размеров (к тому же, представленных трещиноватыми коллекторами, в частности, БСР) подобное (равномерное) размещение скважин и соответствующий режим их работы не всегда соблюдается. Последнее сильно затрудняет выбор расчетной схемы нефтяного участка.

В данном руководстве предлагается дальнейшее развитие методов расчета фильтрационных процессов с учетом интерференции произвольно размещенных скважин с неодинаковыми глубинами и зонами недлинных законов фильтрации для линейной схемы разработки может быть использована и в том случае, когда производственные коллекторы являются строго грануллярными. Методы расчета иллюстрируются конкретными примерами, взятыми из практики разработки нефтяных месторождений с трещиноватыми коллекторами. Предложенный метод оценки размеров зон малопроницаемой нефти позволяет разместить скважины и выбрать режимы работы так, чтобы эти зоны имели минимальную площадь, т.е. позволяет решить одну из основных задач разработки нефтяных месторождений – задачу максимальной выработки пласта.

#### I. Особенности фильтрации в трещиноватых породах

Проблеме трещиноватости горных пород, представленных карбонатными и терригеническими отложениями, посвящено значительное число работ советских и зарубежных авторов. В данной главе рассмотрим лишь те аспекты этой проблемы, которые могут быть использованы при объяснении особенностей движения жидкостей в трещиноватых средах и при разработке нефтяных месторождений с трещиноватыми коллекторами.

Путем анализа фактических данных по месторождениям с трещиноватыми коллекторами нетрудно установить, что наиболее вероятная гидродинамическая модель горной породы представима в виде некоторой ёмкости, содержащей трещины относительно больших размеров и иные пустоты (каверны, полости различной формы и размеров), сопредельные между собой микротрешинами. Последние в местах сужений имеют множество контактов породы, которые создают большие сопротивления при движении жидкостей [27]. В случае чисто трещиноватых коллекторов порода (матрица) характеризуется очень низкой проницаемостью, практически непроницаема. Трещины и иные пустоты являются и проводником и прородником нефти.

Проводимость (проницаемость) трещиновато-пористых коллекторов также, в основном, определяется развитой в той или иной мере сетью микротрешин. Однако, в данном случае сама порода, представляющая обычную пористую среду с конечной пористостью и проницаемостью, является и проводником, и основной ёмкостью, снабжающей жидкость трещин и пустот.

Заметим, что приведенные особенности строения трещиноватых сред характерны для обоих типов коллекторов трещиноватых и трещиновато-пористых. В обоих случаях объем вторичных пустот (трещин, каверн и т.д.) значительно меньше общего объема, занятого соответственно непроницаемыми и проницаемыми блоками горной породы и, напротив,

РЕПОЗИТОРИЙ ГРУНДИ

в большинстве случаев гидравлическая проводимость вторичных пустот во много раз больше проницаемости блоков.

Наглядным примером подтверждения рассмотренной модели трещиноватых сред могут служить нефтяные месторождения Белоруссии [2, 4, 26, 31, 35], которые приурочены к межсолевым карбонатным, подсолевым терригенным и карбонатным отложениям, к локальным структурам Речицкой, Тишковской, Осташковской, Давыдовской и Бишанской площадей. Коллекторами нефти являются пористые, трещиноватые, кавернозные, массивные известняки, известковистые, трещиноватые, мелкокавернозные доломиты, пористые, трещиноватые доломитовые мергели. Часто наблюдаются открытые трещины и каверны, вторичные пустоты выщелачивания. Встречаются плотные непористые, но трещиноватые разности. Трещины извилистые, длинные или прерывистые короткие. По характеру ёмкости продуктивные коллекторы относятся к коллекторам смешанного типа с преобладанием порово-кавернозо-трещинной пористости в межсолевых и кавернозно-трещинно-поровой пористости в подсолевых отложениях.

Наиболее изучены межсолевые отложения на Осташковской и Речицкой площадях, где в их составе выделяются четыре литологические пачки. Лучшие коллекторские свойства как по ёмкости, так и по проницаемости приурочены к верхней (четвертой) пачке, с которой связана основная залежь нефти. Относительно высокая ёмкость, связанная преимущественно с кавернозностью, отмечается на Осташковской площади. Трещины, хотя и не обладают высокой ёмкостью, связывают в единую систему каверны и обеспечивают высокие фильтрационные свойства. Значение проницаемости по промысловым данным, особенно после солянокислотной обработки, достигает 1 д. и более.

Трещины в большинстве случаев не выходят за границы однородных по вещественному составу пропластков, обладают повышенной склонностью по сравнению с блоками горных пород. Раскрытость трещин в пластовых условиях незначительна, интенсивность их развития неодинакова как для различных, так и для одинаковых пород. Некоторые из трещиноватых продуктивных пластов обладают анизотропией относительно проницаемости и других физических свойств. Сложность строения месторождения Белоруссии связана также с наличием системы продольных и поперечных разрывных нарушений и разрывов.

Таким образом, месторождения СССР, как и многие месторождения ССР с трещиноватыми коллекторами, характеризуются сложным строением продуктивных горизонтов. Разработка таких месторождений имеет ряд особенностей и связана с определенными трудностями. В частности, изучение фильтрационных течений в трещиноватых средах необходимо проводить с учетом основных свойств трещиноватых пород и фильтрующихся жидкостей. Заметим, что с точки зрения использования методов механики сплошных сред чисто трещиноватые породы с произвольно ориентированной системой трещин могут быть рассмотрены как пористые среды [32], где роль зерен пористой среды играют непроницаемые блоки, а роль соединяющихся между собой пор — система хаотически распределенных проницаемых трещин.

В 60-е годы широкое распространение получила схема трещиновато-пористой среды как среды с двойной пористостью (межзерновой и трещинной), впервые предложенная Г.И. Баренблаттом, Е.П. Желтовым, И.И. Кочиной [6]. Согласно этой схеме каждая среда и содержащиеся в ней жидкости характеризуется своими параметрами: проницаемостью, пористостью, давлением и скоростью фильтрации. Последнее позволяет по от-

РЕПОЗИТОРИЙ ГГУИ

дельности рассматривать процессы фильтрации в верх и трещинах, при этом в случае неустановившейся фильтрации учитывается интенсивный обмен жидкостью между системой трещин и пористыми блоками. Заметим, что согласно этой теории не учитывается обмен жидкостью между средами, поскольку количество жидкости в любом сечении пласта (например, на скважине) складывается от притока (оттока) жидкости по трещинам и блокам. С точки зрения общей теории механики сплошных сред такое разделение области фильтрации на две среды представляет собой идеализацию рассматриваемого процесса. Ниже исследования будут показаны, что при обычном подходе к фильтрации потоков, т.е. при выборе элементарных объемов породы, содержащих достаточно большое число трещин и блоков, и осреднении характеристик среды и движения (при явлении уединения неразрывности), так называемый пласт рассматривается как единая среда и нет необходимости при интегрировании расчете характеристики потока жидкости учитывать количество перетока из блоков и трещин (и наоборот) даже при неустановившейся фильтрации. Обмен жидкостью между средами учитывается неявным образом при векторном описании скоростей фильтрации по трещинам и порам блоков породы. Наведено, при размерах блоков и трещин больших геометрических величин рассматриваемых объектов схематично представляется трещиновой среды будет совершенно иначе. В этих случаях в качестве модели среды может быть рассмотрена модель с параллельными стенками. Наиболее полно движение жидкости в межах было исследовано Г.И.Ломизе [25].

Некоторые особенности движения жидкостей в трещиновых средах могут быть рассмотрены по данным анализа индикаторной диаграммы  $G - \Delta P$  ( $G$  — расход жидкости,  $\Delta P$  — избыточное давление), характеризующей производительность нефтяной (приспособленной нагнетательной) скважины и призабойную зону пласта.

Известно, что в практике разработки нефтяных месторождений можно встретить индикаторные диаграммы самой различной формы. Их искривление может быть объяснено изменением свойств пласта и жидкости в зависимости от давления (гравитации, давления), рабочей конности пласта; нарушением линейного закона

фильтрации, некачественным исследованием скважины и т.д.

Факторов, влияющих на форму индикаторных линий, как правило, много. Так, например, на одной и той же Тынковской площади (рис. I.1) приток жидкости к скв. 95 с воронежского и к скв. 4 с семилукским — бургского горизонтов соответственно характеризуется пелинейной, линейной фильтрацией. С течением времени эксплуатаций Сосновской площади (при понижении забойного давления ниже давления насыщения) резко увеличивается газовый фактор соответственно меняются форма индикаторных линий, снятых в скв. I3. Выпуклость к оси избыточного давления индикаторной диаграммы, снятой в скв. IV, объясняется увеличением проницаемости за счет расширения трещин, т.е. деформации породы. Согласно наблюдениям И.И.Матвеева, при исследовании поведения трещинного коллектора в призабойной зоне скв. 8 Речицкого месторождения индикаторная диаграмма при уменьшении избыточного давления ( $\Delta P$ ) ложится ниже кривой снятой при увеличении  $\Delta P$ , образуя с ней гистерезисную петлю, свидетельствующую о деформации среды в зоне этой скважины. По скв. 15 Речицкого месторождения индикаторные кривые сняты до и после кислотной обработки [36]. После обработки они, как правило, находятся выше линий, снятых до обработки. Это свидетельствует о том, что при кислотных обработках горных пород происходит увеличение живых сечений естественных трещин. В целом, большинство индикаторных диаграмм, снятых по скважинам нефтяных месторождений Белоруссии, имеют выпуклость к оси расходов (см. рис. I.1).

В [43] показано влияние наиболее важных факторов на течение жидкости в окрестностях скважин, вскрывающих трещиноватые коллекторы. В этой же работе учтено, что принятая модель трещиноватого, трещиновато — пористого пласта допускает использование методов механики сплошных сред. А именно, размеры блоков  $d_{\text{бл}}$  (и, следовательно, длина трещин) велики относительно диаметров пор, но малы по сравнению с размерами пласта.

Определение среднего диаметра "зарен" (блоков)

РЕПОЗИТОРИЙ ГГУ

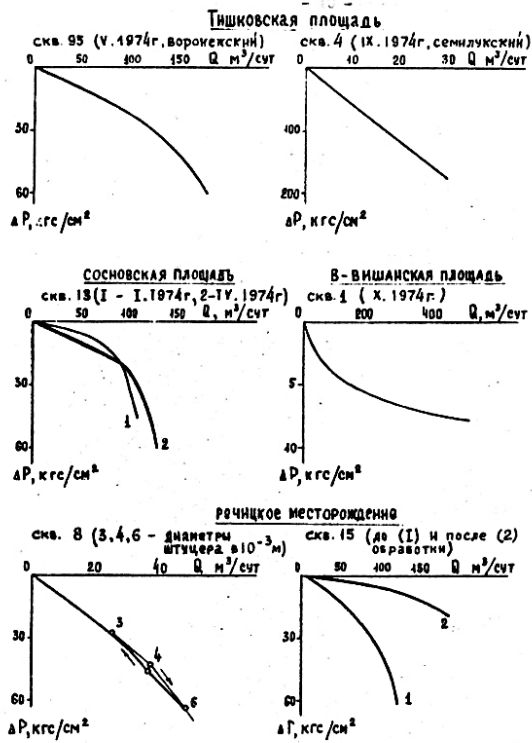


Рис. I.1. Индикаторные кривые по отдельным скважинам месторождений БССР

как правило, требует предварительного анализа исследуемой среды и довольно трудоемких экспериментов [44]. В.Н.Белкачев предложил в качестве такого линейного параметра брать величину, пропорциональную корню квадратному из проницаемости. По данным, приведенным в работе [61] и, не будучи определены из выражения  $1/\beta \sim K_1/K_2 d_{\text{ж}}^2$ , где  $K_1, K_2$  – соответственно проницаемость блоков и трещин, причем для реальных пород  $10^{-6} \text{ м}^2 < 1/\beta < 10^{-4}$ ;  $K_1$  с  $100 \rightarrow 1000$  раз меньше  $K_2$ . Другие выражения для  $d_{\text{ж}}$  могут быть получены из формулы для коэффициента  $\beta$  при втором слагаемом линейного закона фильтрации. По данным Е.Н.Чинского

$$\beta = \frac{12 \cdot 10^{-10}}{m_t \sqrt{K_t}} \left( \frac{d_{\text{ж}}}{\sqrt{K_t}} \right)^2 \quad (I-I)$$

В выражении (I-I) все величины даны в технической системе единиц:  $\rho$  – плотность жидкости,  $m_t$  – пористость породы. Путем обработки известных экспериментальных данных Г.Гертсена [46] показано, что для многих образцов пород

$$\beta = 0.005 \rho / K_t m_t^{1/2};$$

эта универсальная зависимость удобна тем, что в ней не входит неизвестный параметр  $d_{\text{ж}}$ . По данным Г.Ч.Лонгэ [48]

$$\beta = 0.014 \rho d_{\text{ж}} / K_t (1-m_t).$$

Приравняв левые части последних выражений, нетрудно получить искомую формулу для нахождения среднего линейного размера  $d_{\text{ж}}$ .

Значительным является также деформация пород.

ервое математическое описание фильтрации жидкости в деформируемой среде было предложено В.Н.Геллачевым [45].

В отличие от ранее известных теоретических исследований полагаем, что изменение размеров поровых каналов и иных пустот, раскрытие ( смыкание ) трещин при эксплуатации нефтяной залежи зависит не от величины пластового давления ( точнее не только от величины давления ), а от величины градиента давления.

Влияние градиентов давления на величину параметров пласта и жидкости в промысловых условиях впервые было измерено на Туймазинском месторождении Кисляковым В.П., Ленинским Н.С., Русских В.Н. [48]. По результатам исследований большинства нефтяных и нагнетательных скважин этого месторождения было установлено, что параметры пласта и жидкости как в зоне нагнетания, так и в зоне отбора жидкости существенно зависят от градиента давления ( режима работы скважин ). Так например, по скважине 1606 – величина параметра  $KH$  (  $K$  – проницаемость,  $H$  – мощность пласта ) при дебите нефти 51 т/сут. составила 1000 л.см., а при дебите 216т/сут. – 2200 л.см.

Зависимость мощности пласта от градиента давления также была установлена В.Ф. Усенко [39] при обработке результатов исследований на Шакаловском месторождении.

Позже аналогичные исследования проводились и на других месторождениях страны, в частности, на месторождениях Татарии и Белоруссии, результаты которых подробно изложены в работах А.Ф.Ильинова, Г.Н.Диятева [7] и И.В.Криконосова, Р.А.Галакрова [20]. Из анализа этих исследований следует, что при возрастании градиентов давления увеличивается по определенным пределам приемистость пласта и повышается коэффициент действующей мощности ( КДМ – отношение работоспособной мощности к всей нефтесыпающейся мощности ). При обратном ходе деформации ( убывание градиентов давления ) имеет место противоположный ( практически полностью восстановливющийся ) эффект – уменьшение КДМ.

В частности, при нагнетании жидкости в трещинновато-пористый пласт ( скв. 17, 18, 27 Гечинского месторождения ) certain значения градиентов давления соответствуют нулю величины

$\Delta P$ , поскольку жидкость движется только по крупным трещинам. Но сера увеличением градиентов давления до определенных величин начинает раскрываться малопроницаемые трещины, соответственно увеличиваются эффективная мощность и проницаемость пласта. дальнейшее повышение градиентов давления приводит к прогрессирующему развитию трещин, пространящихся от контура нагнетания до линии отбора, и не способствует увеличению действующей мощности  $H = H(\Delta P)$ .

На рис. I.2, I.3 приведены примеры профилей поглощения пластов ( приемистость описанной скв. 18 Речицкого месторождения и приемистость скв. 38 Бишанского месторождения, измеренная в более поздний период ). В обоих случаях с увеличением давления нагнетания ( соответственно градиента давления в призабойной зоне ) наблюдается зачетное увеличение КДМ до определенных значений.

Соответствующее изменение действующей мощности пористых трещиновато – пористой среды при возрастании значений градиентов давления можно объяснить проявлением аномальных свойств фильтрующихся жидкостей [3, 5, 15, 33, 36, 43]. Действительно, в общем случае размеры поровых каналов каждого блока колеблются в широких пределах. Поэтому при некотором градиенте давления жидкость начинает двигаться по самым крупным порам. С ростом градиента давления до критического значения  $\Delta P_{cr}$  и выше в процесс фильтрации вовлекаются всё более мелкие поры. При этом одновременно увеличивается проницаемость трещин, пористых блоков и общая мощность трещиновато – пористого пласта.

Для случая деформируемого трещиноватого пласта и возможных проявлений аномальных свойств фильтрующихся жидкостей в блоках породы примерный график изменения этих величин учен в работе [43]. Там же показано, что существенное влияние рассмотренных факторов на процесс фильтрации имеет место лишь в окрестностях скважин.

Речинское месторождение, скв. № 18

6. VI. 69:

$$Q = 260 \text{ т/сум.}$$

$$P_{B\phi} = 105 \text{ кес/см}^2$$

$$Q = 690 \text{ т/сум.}$$

$$P_{B\phi} = 130 \text{ кес/см}^2$$

$$Q = 750 \text{ т/сум.}$$

$$P_{B\phi} = 150 \text{ кес/см}^2$$



Рис. I.2.

Вишанское месторождение, скв. № 38

26. VI. 75 г.

$$Q = 350 \text{ м}^3/\text{сум.}$$

$$P_{B\phi} = 18 \text{ кес/см}^2$$

$$Q = 1050 \text{ м}^3/\text{сум.}$$

$$P_{B\phi} = 35 \text{ кес/см}^2$$

$$Q = 1700 \text{ м}^3/\text{сум.}$$

$$P_{B\phi} = 64 \text{ кес/см}^2$$

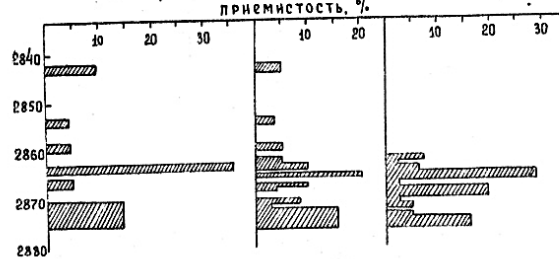


Рис. I.3. ПРОФИЛИ ПРОНИЦАЕМОСТИ  
(замер расходометром РГД-2)

2. Математическое моделирование при расчете показателей разработки.

Из анализа результатов исследований (см. гл. I) следует, что характеристики особенности разработки нефтяных месторождений с трещиноватыми коллекторами могут быть выявлены по виду и степени искривления индикаторных линий диаграммы скважин.

Они имеют выпуклостью расходов при течении жидкости в чисто трещиноватых и трещиновато-пористых пластах и соответственно характерную выпуклость в оси депрессии – в деформируемой трещиноватой среде. Форма индикаторных линий и результаты их расшифровки являются основным критерием применимости тех или иных законов фильтрации при выполнении гидродинамических расчетов.

\* Значительное влияние нелинейности рассмотренных законов фильтрации в чисто трещиноватых и трещиновато-пористых средах на характеристики потока жидкости в основном наливается вибрацией источники возникновения (например, скважины). Вне этой окрестности течение жидкости с допустимой точностью для практики может быть описано формулами линейной теории фильтрации. В связи с этим при решении практических задач воспользуемся методом, основанным на идеализации области фильтрации в виде отдельных зон в зависимости от физико-геологических свойств трещиноватого пласта и системы разработки. При этом в окрестностях скважин учитывается нелинейность фильтрации, а вне этих зон течение считается линейным.

2.1. Использование метода суперпозиции  
при исследовании поля течения

Напомним, что метод суперпозиции широко используется при решении линейных задач математической физики и, разумеется, не может быть непосредственно перенесен при решении краевых задач, описывающих движение жидкости в трещиноватых средах, поскольку эти задачи являются нелинейными. Качественные исследования одного из наиболее важных показателей разработки нефтяных месторождений с трещиноватыми коллекторами – пластового давления –

показали (см. гл. I), что этот метод с достаточной точностью для практики может быть использован лишь вне  $\mathcal{E}_i$  — окрестностей скважин ( $i=1, K$ ,  $R$  — число скважин), т.е. в некоторой многосвязной области (с "дырами", соответствующими зонам значительного проявления нелинейности фильтрации). Действительно, вне этих областей течение жидкости в трещиноватых породах с уловлетворительной точностью может быть описано линейным дифференциальным уравнением вместе с линейными граничными условиями.

Таким образом, может быть предложена следующая схема расчета поля давлений в трещиноватых породах. По данным забойных давлений или дебитов скважин, используя выводы предыдущей главы, восстанавливается поле давлений в  $\mathcal{E}_i$  — окрестности скважин ( $i=1, K$ ), определяются средние значения давлений  $P_i$  на окрестностях  $\omega_i$  радиусов  $2=\mathcal{E}_i$  и ставится линейная задача в оставшейся многосвязной области — найти непрерывную функцию  $P(\mu)$ , удовлетворяющую уравнению

$$LP = \frac{\partial}{\partial x} (\beta \frac{\partial P}{\partial x}) + \frac{\partial}{\partial y} (\beta \frac{\partial P}{\partial y}) = 0 \quad (2-1)$$

и граничным условиям

$$P/\omega_i = P_i, \quad LP/\omega_i = \varphi \quad (2-2)$$

на контуре  $\omega + \omega_i$  ( $i=1, K$ ).  $R+1$  — связной области фильтрации  $\mathfrak{D}$ ,  $M \in \mathfrak{D}$ . Здесь  $\beta = \frac{K}{K+1}$  — гидропроводность нефтяного пласта,  $K$  соответствует проницаемости трещин в чисто трещиноватом пласте или равно проницаемости пор и трещин в трещиновато-пористом пласте. Через  $L$  обозначен линейный, в общем случае дифференциальный, оператор, изменяющий свой вид в зависимости от накладываемых на  $\omega$  условий (контур питания, линия сброса и т.д.);  $\varphi$  — известная функция, заданная на границе  $\omega$ .

Приведенная постановка задачи (2-1), (2-2) сложна, выдуя многосвязности области  $\mathfrak{D}$ . Задача может быть значительно упрощена заменой многосвязной области односвязной  $\Omega$  с особами — точками в центрах скважин. С этой целью нагнетательные (нефтяные) скважины представим в виде линейных вертикальных источников (стоков) постоянной по мощности пласта интенсивности  $q_i$  ( $i=1, K$ ), причем расходы жидкости при нагнетании будем считать положительными, при отборе — отрицательными. Используя

общепринятые методы механики сплошных сред, учтем наличие источников (стоков) в области фильтрации при помощи функции отбора — закачки жидкости  $N$  [12, 42]. Получим

$$LP + N = 0. \quad (2-3)$$

Функцию  $N$  можно выразить через символическую импульсную  $\delta$  — функцию Дирака

$$N = q_i \delta(M - M_i) \quad (2-4)$$

( $M_i$  — точка размещения,  $i$  — скважины).

Из линейного неоднородного уравнения (2-3) со свободным членом в виде (2-4) следует, что искомое поле давления представляет собой результат наложения полей, вызванных работой каждой  $i$  — я скважины в отдельности. Поэтому при решении конкретных задач можно ограничиться рассмотрением лишь одной скважины; влияние же остальных будет учитываться суперпозицией решений, полученных для отдельных скважин.

С учетом последней постановки также приемлема следующая схема расчета поля давлений в трещиноватом пласте. По данным забойных скважин строится решение задачи в предположении, что вследу в пласте течение жидкости линейное. По полученным формулам находятся значения давления, используемые при определении постоянных интегрирования в решениях нелинейных задач в окрестностях скважин.

Аналогичная постановка задачи вне окрестностей скважин имеет место и при нестационарной фильтрации. Найти решение дифференциального уравнения

$$LP(M, t) + N = \beta^* \frac{\partial P}{\partial t} \quad (2-5)$$

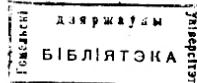
$$\text{с учетом начального} \quad P(M, 0) = f(M) \quad (2-6)$$

и граничных условий

$$LP(M, t)/\omega = \varphi(M, t). \quad (2-7)$$

Если учесть время включения  $t_i$  и отключения  $t'_i$   $i$  — я скважини, то

$$N(M, t) = q_i [\theta(t-t_i) - \theta(t-t'_i)] \delta(M - M_i), \quad (2-8)$$



где  $\theta(x)=0$  при  $x<0$  и равно 1 при  $x \geq 0$ .

В наиболее общем случае начально-крайнюю задачу (2-5) – (2-7) следует решать методом конечных разностей [41, 43]. При постоянном  $\sigma$  решение целесообразно искать методом интегральных преобразований. В частности, решения уравнения (2-5) для прямоугольной области фильтрации при постоянном начальном давлении  $P_0$  и сочетании граничных условий (контуры питания, линия сброса), полученные методом интегральных преобразований, могут быть записаны в виде разности двойных рядов

$$\mathcal{U} = \frac{4}{ab} \sum_{i=1}^R A_i \sum_{m,n} \psi_{imn} - \frac{4}{ab} \sum_{i=1}^R A_i \sum_{m,n} \exp(-\sigma_{mn} t) \psi_{imn} \quad (2-9)$$

Здесь лебеги нагнетательных и нефтяных скважин различаются соответственно знаком (+), (-);  $A_i = q_i \mu / k b P_0$ ;  $\mathcal{U} = (P - P_0) / P_0$ ; вид функций  $\psi_{imn}$ ,  $\psi_{imn}$  конкретизирован на рис. 2.1;  $a$  – размеры пласта. При  $t \rightarrow \infty$  получим стационарное поле давления (первый ряд). В случае, когда пласт ограничен четырьмя взаимно-перпендикулярными линиями сброса, прелельный переход в формуле (2-9) имеет смысл только лишь при соблюдении условия  $\sum_{i=1}^R A_i = 0$  – равенства количества закачиваемой и отбираемой жидкости.

Второй двойной ряд быстро убывает, если  $t$  не стремится к нулю. Первый ряд также сходится и дает конечное значение всегда в прямоугольной области фильтрации, за исключением точки размещения скважины ( $M_1 = (x_1, y_1)$ ). В этой точке имеется особенность логарифмического порядка, вследствие чего коэффициенты первого ряда убывают медленно. Поэтому при проведении расчетов целесообразно выделять логарифмические особенности, т.е. улучшать сходимость двойных рядов. В качестве примера приведем функцию стационарного распределения давления, когда граничные условия смешанные. А именно, часть границы, заданная уравнениями  $x=0$ ,  $x=a$ ,  $y=0$  – непроницаема (линия сброса), а на оставшейся части поддерживается постоянное давление  $P_0$  (контур питания). При этих условиях

$$\frac{\partial K \mathcal{U}}{\partial x} (P - P_0) = \sum_{i=1}^R q_i [A(x, y) + \sum_{m=0}^{\infty} B_m(x, y)], \quad (2-10)$$

j	Карты изобар при t=1	Потенциальная функция U(x,y)	$\sigma_{mnj}$	$\varphi_{mnj}$
1		$U_1$	$m_i^k + n_i^k$	$\frac{S_m \bar{S}_m S_n \bar{S}_n}{\sigma_{mn}}$
2		$U_2$	$m_i^k + n_i^k$	$\frac{C_m \bar{C}_m C_n \bar{C}_n}{\sigma_{mn}}$
3		$U_3$	$m_i^k + n_i^k$	$\frac{C_m \bar{C}_m C_n \bar{C}_n}{\sigma_{mn}}$
4		$U_4$	$m_i^k + n_i^k$	$\frac{S_m \bar{S}_m C_n \bar{C}_n}{\sigma_{mn}}$
5		$U_5$	$m_i^k + n_i^k$	$\frac{C_m \bar{C}_m S_n \bar{S}_n}{\sigma_{mn}}$
6		$U_6$	$m_i^k + n_i^k$	$\frac{C_m \bar{C}_m C_n \bar{C}_n}{\sigma_{mn}}$

Рис. 2.1. Линии равного давления в момент безразмерного времени  $t = x \tilde{t} / \tilde{e}^2 - 1$  при эксплуатации прямоугольной трещиноватой залежи одной нефтяной и двумя нагнетательными скважинами с учетом различных граничных условий и вид функций  $\sigma_{mn}$ ,  $\varphi_{mn}$ :  
 $m_1 = \pi m / a$ ,  $m_2 = \pi (m+0,5) / a$ ,  $n_1 = \pi n / b$ ,  $n_2 = \pi (n+0,5) / b$ ,  
 $S_m = \sin m_1 x$ ,  $\bar{S}_m = \sin m_2 x$ ,  $C_m = \sin m_1 y$ ,  $\bar{C}_m = \sin m_2 y$ ,  
 $C_n = \cos n_1 y$ ,  $\bar{C}_n = \cos n_2 y$ ,  $C_{2n} = \cos n_2 y$ ,  $\bar{C}_{2n} = \cos n_1 y$ . Центроконическая часть границ – линии сброса, оставшаяся часть – контуры питания.

$$A = \frac{\eta}{\alpha} \left( \theta - \frac{y + \beta_1 + |y - \beta_1|}{2} \right) + \frac{1}{2} \int_{\alpha}^{\infty} \sin^2 \frac{\pi y}{46} (26 - y - \beta_1) + \sin^2 \frac{\pi y}{46} (x - \alpha) - \sin^2 \frac{\pi y}{46} (y - \beta_1) + \sin^2 \frac{\pi y}{46} (x - \alpha),$$

$$-\frac{1}{4} \ln \frac{\sin^2 \frac{\pi y}{26} (26 - y - \beta_1) + \sin^2 \frac{\pi y}{26} (x - \alpha)}{\sin^2 \frac{\pi y}{26} (y - \beta_1) + \sin^2 \frac{\pi y}{26} (x - \alpha)}, B_m = \frac{\cos \frac{\pi(2m+1)}{26} y \cos \frac{\pi(2m+1)}{26} / \beta_1}{0.5(2m+1) \sin \frac{\pi(2m+1)}{26} \alpha},$$

$$\left\{ \sin \frac{\pi(2m+1)}{26} (x - |\alpha - \alpha|) + \sin \frac{\pi(2m+1)}{26} (x - \alpha) - \exp \left[ -\frac{\pi(2m+1)}{26} |x - \alpha| \right] \sin \frac{\pi(2m+1)}{26} \alpha \right\},$$

где  $\alpha > 6$ , число уделяемых членов ряда  $N < 64 \alpha \ln 2 / \pi^2$ .

Формула (2-9) устанавливает связь между основными параметрами пласта и жидкости при упругом режиме фильтрации. Она позволяет определять поле давления в прямоугольном пласте вне окрестностей скважин в любой момент  $t$  при произвольном размещении скважин и сочетании различных граничных условий. На рис. 2.1 построены поля давления при безразмерном  $t=1$ . Программа расчета на языке ФОРTRAN реализована на ЭВМ. В расчетах использованы следующие безразмерные величины  $\alpha=2$ ,

$\alpha_1=1$ ;  $\alpha_2=0.5$ ,  $\beta_1=0.3$ ,  $A_1=1$ ;  $\alpha_3=0.8$ ,  $\beta_3=0.7$ ,  $A_3=-1$ ;

$\alpha_4=1.6$ ,  $\beta_4=0.5$ ,  $A_4=1$ . Сравнение полученных карт изобар с соответствующими картами, рассчитанными при  $t=2$ , показало, что процесс фильтрации в ограниченном пласте быстро стабилизируется.

При известных значениях радиусов границ окрестностей и координат скважин, забойных давлений по полученным формулам могут быть найдены дебиты скважин, исследована геометрия размещения скважин и их интерференция, влияние перепадов давлений между скважинами на показатели разработки [43].

При  $t \rightarrow \infty$  (2-9), (2-10) представляют собой гармонические функции всюду в прямоугольной области фильтрации, кроме точек  $M_i(\alpha_i, \beta_i)$ . Сопряжение с ними гармонические функции  $\Psi$

(функции тока) получим из условия ортогональности  $u$  и  $\Psi$

$$\Psi(x, y) = \int \frac{\partial u}{\partial x} dy + f(x), f(x) = -\frac{\partial u}{\partial y} - \frac{3}{2} \int \frac{\partial u}{\partial x} dy. \quad (2-II)$$

В частности, подставив (2-9), когда на контуре залежи поддерживается постоянное давление, в (2-II), после интегрирования с точностью до аддитивной постоянной имеем

$$\Psi = \frac{1}{\sqrt{\alpha}} \sum_{i=1}^{\infty} A_i \left[ (W_i - w_i) + \sum_{m=1}^{\infty} F_m \sin \frac{\pi m}{\alpha} d_i \cos \frac{\pi m}{\alpha} x \right],$$

$$W_i = \operatorname{sgn}(y - \beta_i) \arctg \left\{ \sin \frac{\pi(x + d_i)}{\alpha} \left[ \exp \frac{\pi(y - \beta_i)}{6} - \cos \frac{\pi(x - d_i)}{\alpha} \right] \right\},$$

$$w_i = \operatorname{sgn}(x - d_i) \operatorname{sgn}(y - \beta_i) \arctg \left\{ \sin \frac{\pi(x - d_i)}{\alpha} \left[ \exp \frac{\pi(y - \beta_i)}{6} - \cos \frac{\pi(x - d_i)}{\alpha} \right] \right\},$$

$$F_m = \frac{\exp(-\frac{\pi m}{\alpha}|y - \beta_i|)}{m \sin \frac{\pi m}{\alpha} b}. \quad (2-II)$$

На рис. 2.2 построены линии уровня функции (2-II), которые при установленной фильтрации совпадают с траекториями движения частиц (программа расчета на языке ФОРTRAN). Стрелками показаны направления движения частиц. Закрашенными областями отмечены зоны малоподвижной нефти. Для установления этих зон достаточно вычислить время движения частиц вдоль различных линий тока по формуле

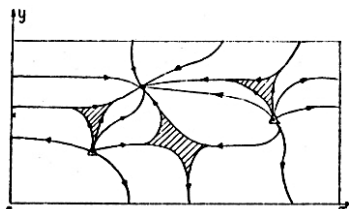
$$t = -\frac{m \mu c^2}{k P_0} \int_{x_i}^{x_1} \left( 1 / \frac{\partial u}{\partial x} \right) dx, \quad x = \frac{\bar{x}}{c}, \quad y = \frac{\bar{y}}{c} \quad (2-III)$$

и сравнить полученные значения. Здесь  $C$  – характерный размер,  $y = \varphi(x)$  – уравнение траектории.

Отношение площади зон к площади прямоугольника характеризует выработку залежи при ее эксплуатации. Задача минимизации этого отношения является одной из основных задач рациональной разработки пласта. Практическое решение подобных задач сводится к оптимальному выбору режимов работы и расположения скважин при заданных граничных условиях.

В заключение отметим, что подобные исследования проходили

РЕПОЗИТОРИЙ ГРУНДИ



**Рис. 2.2.** Траектории частиц жидкости и формы зон малоподвижной нефти при разработке прямоугольной залежи одной нефтяной и двумя нагнетательными скважинами. Заштрихованные области — зоны малоподвижной нефти,  $\Delta$  — нагнетательные скв.,  $\circ$  — нефтяная скв.

такие зоны имеют полусообразной и полуполусообразной залежей при различном сочетании краевых условий на границах рассматриваемых областей. Преследуя цель — не загромождать работу формулами, укажем лишь, что процесс перераспределения давления в полусообразных зонах протекает значительно медленнее; следовательно, при определении показателей разработки такой залежи особенно в начальной стадии необходимо пользоваться формулами упругого режима инъекции. При  $f \rightarrow \infty$  процесс фильтрации полностью стационаризируется и описывается логарифмическими функциями.

#### 2.2. Прогнозирование потерь нефти при втекании ее в воду

Как уже было отмечено в пункте 2.1, при втекании нефти в воду образуются зоны малоподвижной нефти, которые снимают коэффициент охвата пласта изобарично. Формирование зон малоподвижного продвижения жидкости сопровождается постепенным образованием "ланки обогащения" вдоль ствола несимметричного расположения скважин по отношению к границам раздела жидкостей (ВНР — водонефтяному разрезу), конфигурация таких зон зависит от характеристики проницаемости ВНР.

Задача о прогнозировании движения ВНР в продуктивном пласте является одной из наиболее сложных задач теории фильтрации. Простейшее постановление этой задачи считается, что гидравлические и механические свойства фильтрующихся жидкостей одинаковы, т.е. принимается схема разноцветных жидкостей. Практически систему течений можно считать разноцветной, если соотношение вязкости нефти и воды находится в пределах  $1 \leq \mu_n / \mu_w \leq 4$ , а параметр динамического подобия

$$P = \kappa h^2 (\rho_w - \rho_n) / \mu_n \varphi_w \leq 0.005. \quad (2-14)$$

Здесь  $\kappa$  — проницаемость,  $\rho$ ;  $\rho_w$ ,  $\rho_n$  — удельный вес воды и нефти в пластовых условиях,  $\text{г/см}^3$ ;  $h$  — нефтенасыщенная мощность пласта, м;  $\mu$ ;  $\mu_n$  — вязкость нефти в пластовых условиях,  $\text{см}^2/\text{с}$ ;  $\varphi_w$  — отбор жидкости в пластовых условиях,  $\text{м}^3/\text{с}\cdot\text{т}$ . При  $P > 0.005$  процесс нефтеводораздела протекает лучше расчетного и тем

самым обеспечивается запас в расчетах [27].

Эти выводы хорошо согласуются также с результатами экспериментальных и промысловых исследований [31]. В частности, из анализа геологопромысловых данных основных месторождений Белоруссии

Таблица 1

Показатели	Сенежский разрез		
	Речник	Осташкович-Вишан-	
	месторождение	ское место-жское	место-
	дение	разление	разление
Нефтенасыщенная мощность, м.	17,3	12,3	19,7
Проницаемость по промысловым данным, дж.	0,38	0,28	0,485
Вязкость нефти в пластовых условиях, см <sup>2</sup> /с.	1,7	0,7	2,3
Вязкость пластовой воды, см <sup>2</sup> /с.	0,7	0,7	0,7
Плотность нефти в поверхностных условиях, г/см <sup>3</sup> .	0,85	0,83	0,664
Плотность пластовой воды, г/см <sup>3</sup>	1,24	1,24	1,28
Среднесуточный дебит на одну скважину, т.	205	253	197

следует, что с точностью для практики при расчете отдельных показателей разработки может быть использована схема разноцветных жидкостей.

При такой идеализации уместно полагать, что стягивающаяся к нефтяным скважинам поверхность раздела — НИР является поверхностью отмеченных частиц. Соответственно задача о продвижении НИР сводится к изучению движения отмеченных частиц жидкости в фильтрационном потоке.

Зоны замедленного движения обычно образуются там, где наименьшая скорость фильтрации, т.е. превзойдет всего вне  $\mathcal{E}_i$  — окрестностей скважин. Поэтому при установлении критерия и

форм этих зон можно использовать функциями вида (2-9), (2-10) с учетом формул (2-II), (2-I).

Однако НИР можно также интерпретировать как геометрическое место движущихся отмеченных частиц жидкости, совпадающее в начальный момент с заданной границей раздела

$$F(x, y, t)|_{t=0} = f(x, y) = 0. \quad (2-15)$$

Учитывая, что скорость фильтрации  $\vec{v} = m \vec{v}_p (\frac{dx}{dt}, \frac{dy}{dt})$  ( $m$  — пористость среды), имеем систему дифференциальных уравнений

$$\frac{dx}{dt} = \frac{1}{m} v_x, \quad \frac{dy}{dt} = \frac{1}{m} v_y, \quad (2-16)$$

описывающую движение отмеченных частиц жидкости вне  $\mathcal{E}_i$  ( $i=\sqrt{R}$ ) — окрестностей скважин, когда  $\vec{v}$  пропорциональна градиенту давления (функции давления см. (2-9), (2-10)) и в окрестностях скважин, когда  $\vec{v}$  величиной функции, соответствующей для случая чисто трещиноватых и трещиновато-пористых сред.

Интегрируя систему (2-16) с учетом начального условия (2-15), получим координаты движущейся частицы жидкости  $x(t), y(t)$  (закон движения) в любой момент времени  $t$ . Геометрическое место точек, соответствующее новым положениям частиц, есть исходная граница раздела жидкостей  $F(x, y, t)=0$ .

Оценочные расчеты, выполненные на ЭВМ "Минск-32" методом последовательных приближений (методом Рунге-Кутта), показали, что при эксплуатации месторождений с трещиноватыми коллекторами большим числом нагнетательных и нефтяных скважин значительное влияние индивидуальных воронок депрессии на продвижение контура нефтеносности наблюдается лишь в сравнительно небольших зонах, окружающих скважину. При этом степень обводненности нефтяной скважины нетрудно связать с дугой контура зоны (с углом обводненности), пропорциональной притоку вытесняющей жидкости. Сторонами угла обводненности (с вершиной в центре скважины) являются касательные к крайним линиям тока, по которым в данный момент времени вытесняющая жидкость достигает границу зоны, т.е. границу  $\mathcal{E}$  — окрестности скважин. Внутри этого угла контур зоны оказывается полностью обводнен-

ным. Частичный дебит, равный количеству затесненной жидкости (воды) в нефтяной скважине в единицу времени,

$$q_6 = q_B / 2\pi, \quad (2-17)$$

где  $q$  — дебит скважины. Заметно ускоренное движение точек контура нефтеносности в период достижения частичной затесненной жидкости окрестности нефтяной скважины, как правило, замедляется после прохождения контуром этой окрестности.

Таким образом, на основании вышеизложенных обострений движения контуров нефтеносности в трехмерных средах в первом приближении могут быть распространены с использованием формул, описывавших поле пластового давления в окрестностях скважин.

С учетом последнего продвижение контура нефтеносности может быть вычислено по картам изобар, построенным по формулам вида (2-9), (2-10). Для вычисления приближенных значений нормальной составляющей [21]

$$W_n = -\frac{K}{\mu} \frac{\Delta P}{dn} \quad (2-18)$$

скорости движения точек жидкого контура определяются  $\Delta P/dn$  — отношение перепада давлений к расстоянию между изобарами, замеренному по направлению нормали  $\vec{n}$  к контуру нефтеносности. Откладывая отрезки, равные  $W_n dt$ , из нормалей к исходному контуру (2-15) в выбранных опорных точках и соединяя их концы плавной кривой, получим приближенное очертание границы раздела жидкостей (вода, нефть) для момента времени  $t_i = \Delta t$ . Далее, процесс продвижения контура нефтеносности полностью повторяется. В следующий этап за исходный контур принимается контур, построенный при  $t = t_i$ . Используя данные о режимах работы скважин при  $t = t_i$ , строятся новые карты изобар по одной из формул вида (2-9), (2-10), определяются в опорных точках  $\Delta P/dn, W_n, W_n dt$ , находятся новые положения опорных точек и т.д., т.е. весь процесс описывается полученнымными формулами.

Известно, что потеря нефти и степень обводненности залежи характеризуется коэффициентом сущности пласта заводнением. В случае взаимоотношения "разновидность жидкостей" (вода,

нефть) коэффициент охвата  $\beta$  ограниченной области фильтрации  $\mathcal{D}$  завоинением определяется как отношение объема  $V_F$  области, занятой затесняющей жидкостью, ко всему объему  $V$  области  $\mathcal{D}$ :

$$\beta = \frac{V_F}{V} = \frac{V - V_E}{V}, \quad (2-19)$$

где  $V_F$  — объем области (в зоне затесняемой жидкости), ограниченной текущей поверхностью раздела жидкостей  $F(x, y, z, t)$ . Если область фильтрации  $\mathcal{D}$  неограничена, то при определении коэффициента охвата  $\beta$  по формуле (2-19) границей области условия принимается некоторая поверхность, за пределами которой влияние рисующих возмущений вследствие изменения режимов работы скважин практически нешутило.

Таким образом, для определения текущего коэффициента охвата завоинением необходимо знать продвижение поверхности раздела жидкостей, т.е. закон движения отмеченных частиц жидкости вдоль линии тока. Решение последней задачи может быть выполнено либо с помощью формул (2.1-13) пункта 2.1, либо с использованием формул (2.14-19) пункта 2.2, т.е. двумя способами. В следующей главе приведены практические примеры расчета по полученным формулам.

РЕПОЗИТОРИЙ ГГУ

### 3. Расчет практических примеров.

#### 3.1. Поле пластовых давлений на Вишанском месторождении

Полученное решение (2-10) с улучшенной сходимостью позволяет определить давление в любой точке (внс  $\delta_i(i=1, \bar{N})$ ) — окрестности скважин) трехмерного пласта прямоугольной формы при смешанных краевых условиях и произвольном расположении нефтяных инъекционных скважин. В качестве примера с помощью этого решения и выводов главы I рассчитаем поле пластовых давлений в продуктивной залежи Вишанского нефтяного месторождения.

Основная промышленная нефтеносность на этом месторождении связана с карбонатными отложениями воронежского, семилукского горизонтов верхнего девона. Анализ изменения пластового давления по скважинам показывает, что они имеют слабую гидродинамическую связь. Лучшими фильтрационными свойствами обладает семилукский горизонт, который может быть рассмотрен как обавьета фильтрации платформенного типа. При этом форма залежи с достаточной точностью для практики представлена в виде прямоугольника размерами  $A=15,5 \text{ км}$ ,  $B=2,5 \text{ км}$ .

Учитывая затрудненную гидродинамическую связь залежи с северо-восточной и юго-западной закончурными областями и границу выявленного тектонического нарушения, примем, что часть границы рассчитываемой залежи, заданная уравнениями:  $\bar{x}=0$ ,  $\bar{x}=\bar{a}$ ,  $\bar{y}=0$ , практически непроницаема, а на части  $\bar{y}=\bar{b}$  поддерживается постоянное давление  $P_0$ .

Таким образом, для расчета поля давлений может быть использовано решение (2-10).

На рис. 3.1. приведено расчетное поле пластовых давлений в подсолевой залежи Вишанского нефтяного месторождения (программа на алгоритмическом языке ЭОРГРАН). Исходные данные по состоянию на 1.1972 года сведены в табл. 2. Значение гидропроводности  $k\bar{h}/\mu$  в расчетах принято равным  $250 \text{ g} \cdot \text{см.} / \text{свz.}$ ,  $P_0 = 301 \text{ атм.}$

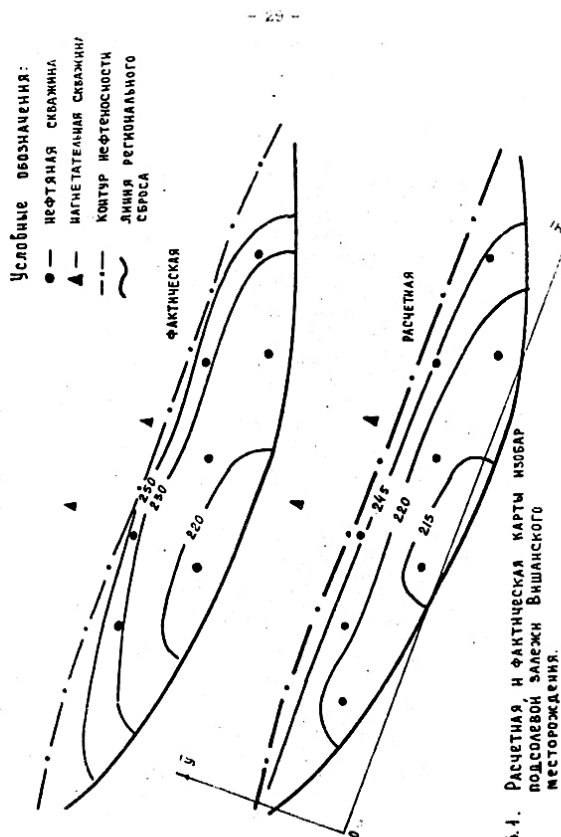


Рис. 3.1. Расчетная и фактическая карта изобар подсолевой залежи Вишанского месторождения.

РЕПОЗИТОРИЙ ГРУНД

таблица 2.

Координаты и дебиты скважин, изгнавших подсоловую залежь Виланского нефтяного месторождения

№ скв. нр.	Координаты скв.		Дебиты скв.	
	$\alpha_i$ (M)	$\beta_i$ (M)	$q_i$ ( $M^3/\text{сут}$ )	
1	2	3	4	
1	2700	1375	-251	
2	4575	2100	-19	
3	6650	725	-660	
4	6850	2500	-54	
5	9350	1350	-279	
6	11600	2250	-310	
7	12400	375	-191	
8	14575	1900	-152	

Из сопоставления фактической карты залежи с расчетной (рис.3.1) следует, что применение суммы расчета удовлетворяет требованиями практики, залежь вырожденческая симметричная, наблюдается затрудненная связь с внешней коном, в пределах внутреннего контура нефтегеносности (активная гидропроводность больше принятой в расчетах, расчетный градиент давления между эксплуатационными скважинами выше фактического). Последнее свидетельствует либо о неочной проницаемости коллектора, либо о потерях энергии залежи.

3.2. Результаты промышленного внедрения оптимального варианта режимов работы скважин на Виланском месторождении, рассчитанного по разработанной методике.

Исследование и регулирование процесса разработки нефтяных месторождений тесно связано с изучением распределения пластового давления в окрестностях скважин с учетом раздела I и безразмерных функций давления  $\kappa = (P - P_0)/P_0$  вне их окрестностей при различных условиях на границах чисто трещиноватых и трещиновато-пористых залежей. Конкретные выражения  $\kappa$  получены в 2.1, программа расчета на ЭВМ на языке СОРТРАН.

В реальных условиях величина конечной нефтеотдачи значительно зависит от размеров зон малоподвижной нефти, которые мало подвергены воздействию нефтяных и нагнетательных скважин. Формы и размеры этих зон также нетрудно установить с помощью формулы пункта 2.1.

Основные результаты, полученные в первых двух главах, позволяют оптимально разместить и выбрать режим работы скважин с учетом заданных граничных условий при проектировании разработки. При разбуренном фонде скважин минимизация размеров зон малоподвижной нефти может быть достигнута путем изменения направления фильтрационных течений за счет отключения отдельных нагнетательных скважин при одновременном увеличении залежи в другие, циклической закачки [38] и т.д., т.е. путем изменения только лишь режимов работы скважин.

В качестве примера такого способа регулирования процесса разработки с помощью формул главы 2 изложены результаты промышленного эксперимента на Виланском месторождении, выполненного согласно данным предварительного расчета на ЭВМ. На этом месторождении в период проведения эксперимента система поддержания пластового давления не позволила внедрить классический метод циклического воздействия на пласт выше ограниченной производительности волозадоба. Поэтому в промышлен-

ном масштабе была осуществлена разновидность этого метода, основанная на перераспределении объема нагнетательной воды по скважинам разрезанных рядов (без изменения общего объема закачки).

По формуле главы 2 (2-10) рассчитывались 4 си. рис. 2.1, 2.2) дипольные поля пластовых давлений и линии тока для возможных этапов закачки. Из анализа полученных результатов следует, что перераспределение закачки приводит к изменению направлений линий тока на отдельных участках на  $90^{\circ}$ - $160^{\circ}$ . Это позволяет вовлечь в разработку ранее мало-полярные зоны и увеличить коэффициент охвата заполнением. Наиболее приемлемые с расчетной и технической точек зрения оказалось проведение предварительного эксперимента в следующие этапы.

1 этап с 15 сентября 1974 г. по декабрь 1974 г. (остановка закачки в скв. 5, 26, при интенсификации закачки в скв. 38).

2 этап с 18 марта 1975 г. по июнь 1975 г. (остановка скв. 38 при интенсификации закачки в скв. 5, 26).

3 этап с июня 1975 г. по апрель 1976 г. (освоение и интенсификация закачки в скв. 81).

4 этап с 10 июня 1976 г. по декабрь 1976 г. (прекращение закачки в скв. 26, 35, 38, 81 при интенсификации закачки в скв. 5, 34 с одновременной остановкой высокодебитных обводненных скв. 60, 66, 68, 80).

После прекращения нагнетания воды в скв. 5, 26 в первые 15 суток имело место снижение общей закачки по залежи, которое было компенсировано в последующие месяцы за счет увеличения приемистости скв. 38, скважин разрезанного ряда (скв. 17, 34, 35) и законтурных скважин 7, 19, 32, 36, 37. В конце предварительного эксперимента пластовое давление в районе импульса (скв. 9, 38, 39) выросло на 30 ати. В зоне остановленных скважин наблюдалось его падение. Переход пластового давления изменился от 25 до 30 ати. Изменение градиента давления имело место по всей залежи.

Выполненные прогнозные расчеты и проведение мер по приятию дали положительный эффект, выражавшийся в стабилизации

лизации и снижении темпов обводнения, в повышении коэффициента вытеснения нефти водой по отдельным скважинам и месторождению в целом. По первым двум этапам за 6 месяцев обводненность продукции снизилась с 47 до 30%. За II месяцев третьего этапа обводненность жидкости в соседних скв. 10 и 52 снизилась соответственно с 94 до 33% и с 81 до 66%. На рис. 3.2а наглядно иллюстрирована эффективность метода изменения направлений фильтрационных потоков по скв. 10. В начале третьего этапа наблюдается резкое увеличение дебита нефти и уменьшение обводненности добываемой жидкости в этой скважине. После проведения 4 (последнего) этапа предварительного эксперимента обводненность продолжила по залежи стабилизировалась на уровне 58%.

Продолжение эксперимента (с декабря 1976 г.) связано с остановкой нагнетательной скв. 5, пуском в работу нагнетательных скв. 38, 81 и нефтяных скв. 66, 68. В таблице 3 приведены данные о пополнительном дебите нефти за время проведения предварительного и результаты продолженного эксперимента

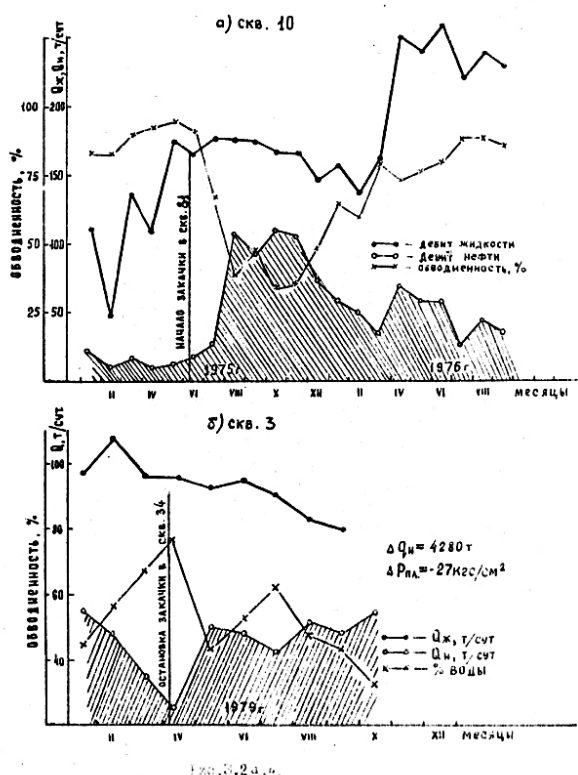
Таблица 3

Дата	Накопл. добыча нефти (тыс.т)		Прирост добычи до внедрения	Прирост добычи после внедрения нефти (тыс.т)
	до внедрения	после внедрения		
I.12.1974 г.	2451	2484,6		33,6
I.12.1975 г.	2815	2875,8		60,8
I.12.1976 г.	3000	3151		151
I.12.1977 г.	3044,7	3208		163,3
I.12.1978 г.	3123,2	3319,1		195,9

С апреля 1979 г. начал первый этап проведения продолженного эксперимента по изменению направлений фильтрационных потоков с периодическим снижением пластового давления по залежи. Закачка была прекращена во внутренние скважины разрезанных рядов 38, 26, 34, приконтурные скв.

РЕПОЗИТОРИЙ ГРУППЫ

- 34 -  
**ЭФФЕКТИВНОСТЬ МЕТОДА ИЗМЕНЕНИЯ НАПРАВЛЕНИЯ  
ФИЛЬРАЦИОННЫХ ПОТОКОВ ПО СКВАЖИНАМ  
ВИШАНСКОГО НЕФТЯНОГО МЕСТОРОЖДЕНИЯ**



- 35 -

17 и очаговую скв. 81. В июле 1979 г. была пущена под закачку обновленная прионтурная скв. 74. Объем закачки по за- лежи сократился на 80 тыс. м<sup>3</sup>/мес. Текущая компенсация отбора закачкой упала с 104% до 32%.

В результате проведения первого этапа последнего эксперимента рост обводненности добываемой продукции, имевший место после окончания предыдущего эксперимента, не только прекратился, но и снизился с 80 до 70%. Дополнительная добыча за этот период составила 26 тыс. т. нефти. По отдельным скважинам эффект от проведенного эксперимента выражался еще более значительнее. Так по скв. 3 (см. рис. 3.2б) обводненность снизилась с 77% до 31%, дополнительно добито 4280 т. нефти при снижении пластового давления в окрестности скважины на 27 кгс./см<sup>2</sup>.

Для оценки эффективности проведенных мероприятий строились характеристики вытеснения по накопленному за прошлые годы фактическому материалу эксплуатации (по данным текущей добчи нефти  $Q_n$ , воды  $Q_w$ , жидкости  $Q_{ж}$ , соответственно накопленной добчи  $q_n$ ,  $q_w$ ,  $q_{ж}$ , волонефтного фактора и т.д.). Использование характеристик вытеснения при выяснении эффективности метода воздействия на залежь впервые нашло широкое применение в исследова-ниях М.Л.Сургучева, Б.Ф.Сазонова и др. Анализируя положение характеристик вытеснения до и после воздействия на пласт, по величине и знаку отклонения определялось влияние того или иного фактора на характер вытеснения.

В данной работе в целях чистоты выделения эффекта из расчета исключена добыча жидкости по скважинам, вступившим в эксплуатацию и вскоре остановленным из-за высокого содержания волни, определение эффективности проводилось по первоначальному фонду скважин 1974 г. Показано, что расчет дополнительной добычи нефти можно проводить двумя способами, а именно по характеристикам вытеснения: 1) зависимости  $q_i$  от  $q_{ж}/q_n$  и 2)  $q_i = f(q_{ж}/q_n)$ . В предшествующий эксперименту период, когда разработка месторождения велась при стационарных режимах закачки в прионтурные и нагнетательные

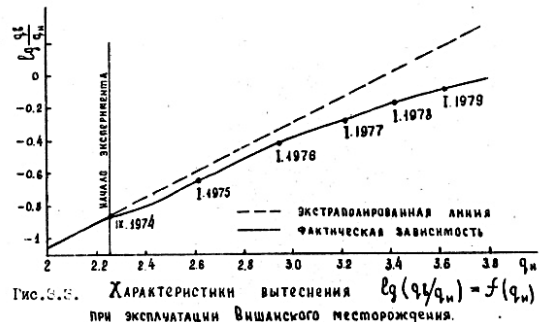
скважин разрезанных рядов, эти зависимости имели линейный характер. Обводненность экипажи в этот период со-ставляла 30 - 35%.

Для выяснения возможности прогнозирования этой закономерности на период с более высокой обводненностью экипажи из переходящего фонда были выбраны скв. 9, 10, 15, 19, 42, 46, 50, 51, обводнившиеся до 70-80%. Анализ выявил изменения зависимостей I), 2) показал, что до величины обводненности 80% добываемая продукция (значение отношения  $q_{ж}/q_n \leq 1,4$ ) при условных стационарной системе (или залежи) сохраняется линейный характер этих зависимостей. Линейная зависимость нарушается при изменениях режима работы скважин. Используя данные о величине отклонения фактической зависимости от стационарной (линейной), нетрудно оценить эффект нового метода воздействия на пласт, связанного с изменением режимов работы скважин.

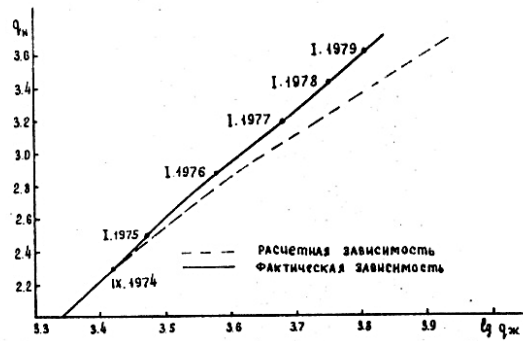
Из сравнения оценок эффективности разнородности циклической закачки с изменением направления фильтрационных потоков, рассчитанных двумя различными способами, следует, что наиболее приемлемы и соответствующими действительности является способ, основанный на использовании второй зависимости (см. рис. 3.3), т.е. зависимости  $\lg \frac{q_{ж}}{q_n} = f_2(q_n)$ .

Экстраполируя эту зависимость, имеющую до начала проведения эксперимента линейный характер, до последних лет эксплуатации залежи, по рис. 3.3 определили расчетные значения водо- нефтяного отношения  $q'_n/q_n$  при условии сохранения фактической добычи нефти. По полученным данным находили величину содержания нефти в добываемой продукции  $f'_n = 1 / (q'_n/q_n + 1)$  и расчетного отбора жидкости  $q'_{ж} = q_n/f'_n$  (см. табл. 4).

При расчетных накопленных отборах жидкости и фактических накопленных отборах нефти строятся характеристики вытеснения нефти водой  $\lg q_{ж} = f_2(q_n)$  (см. рис. 3.4). Эффект определяется как разность фактической и расчетной добычи нефти при условии сохранения фактических годовых



Гис.3.3. ХАРАКТЕРИСТИКИ ВЫТЕСНЕНИЯ  $\lg (q_{ж}/q_n) = f(q_n)$   
ПРИ ЭКСПЛУАТАЦИИ ВИШАНСКОГО МЕСТОРОЖДЕНИЯ.



Гис.3.4. ХАРАКТЕРИСТИКИ ВЫТЕСНЕНИЯ  $\lg q_{ж} = f(q_n)$   
ПРИ ЭКСПЛУАТАЦИИ ВИШАНСКОГО МЕСТОРОЖДЕНИЯ

РЕПОЗИТОРИЙ ГРУППЫ

Таблица 4

Расчет дополнительной добываемой нефти по характеристикам вытеснения  $\dot{q}_n' (q_i/q_n) = f_1(q_n) (q_n - \text{const})$ ,  $\dot{q}_n' q_n = f_2(q_n) (q_n - \text{const})$

Время год, квартал	Фактич. добыча нефти тыс.т.	Расчетные величины				
		$\frac{q_i'}{q_n} = f_1(q_n)$	$f_2' = \frac{1}{1 + \frac{q_i'}{q_n}}$	$q_n' = \frac{q_n}{f_2'}$	$\dot{q}_n' q_n$	При- рост $q_n'$ тыс.т.
1974	1 1800	0,003	0,94	1919	2,26	0
	2 2071	0,101	0,91	2261	3,16	0
	3 2293	0,146	0,87	2620	2,42	0
	4 2485	0,202	0,83	2967	3,47	28
1975	1 2613	0,251	0,80	3273	4,51	42
	2 2727	0,306	0,77	3560	4,55	47
	3 2866	0,348	0,74	3782	3,58	54
	4 2976	0,389	0,72	3995	3,60	58
1976	1 2941	0,435	0,70	4219	3,62	66
	2 3016	0,493	0,67	4504	3,65	80
	3 3066	0,556	0,64	4799	3,68	93
	4 3151	0,620	0,62	5107	3,71	127
1977	1 3208	0,680	0,60	5291	3,73	130
	2 3262	0,748	0,57	5703	3,76	146
	3 3319	0,820	0,55	6045	3,78	143
	4 3370	0,916	0,52	6456	3,81	156
1978	1 3423	0,977	0,51	6765	3,84	177
	2 3473	1,062	0,48	7161	3,86	186
	3 3523	1,156	0,46	7596	3,88	199
	4 3568	1,247	0,44	8018	3,90	201
1979	1 3608	1,380	0,42	8590	3,93	206
	2 3647	1,413	0,40	8913	3,95	210
	3 3681	1,496	0,39	9302	3,97	222

отборов жидкости.

Экономический эффект от проведения описанного эксперимента на Вязанском месторождении, рассчитанный с использованием второй зависимости, оценивается величиной 222тыс.т дополнительной добываемой нефти по персональному фонду скважин. Последнее хорошо согласуется со значением эффекта, полученного на основе анализа характеристики вытеснения по отдельным скважинам, и с данными табл.3 совместно с результатами последнего эксперимента.

Из приведенного анализа полученных результатов следует, что основной эффект проводимого эксперимента, выражавшийся в стабилизации, а по отдельным скважинам и в снижении очистности добываемой продукции, связан с вовлечением в разработку ранее изолированных зон, за счет изменения направления линий тока и конфигурации микропотоков.

Вышеизложенное позволяет сделать вывод, что промышленная реализация предварительно рассчитанных оптимальных вариантов размещения и режимов работы скважин на площади нефтеградости представляет собой один из наиболее эффективных способов регулирования процесса разработки как по Вязанскому, так и по другим месторождениям с трещиноватыми коллекторами.

### 3.3. Расчет продвижения границы раздела жидкостей и коэффициента охвата пласта заводнением на примере прокладки залежи Речицкого месторождения.

Отдельные нефтяные залежи месторождений с трещиноватыми коллекторами могут быть схематизированы в виде плоских областей фильтрации, составленных из призмоугольников. В частности, форма семилукского-бургской залежи Речицкого нефтяного месторождения может быть аппроксимирована плоской фигурой  $\mathcal{D}$ , составленной из двух неравных призмоугольных областей размерами  $a = \bar{a}/c$ ,  $b = \bar{b}/c$  и  $a_t = \bar{a}_t/c$ ,  $b_t = \bar{b}_t/c$  (см.рис.3.5). Заметившаяся часть границы

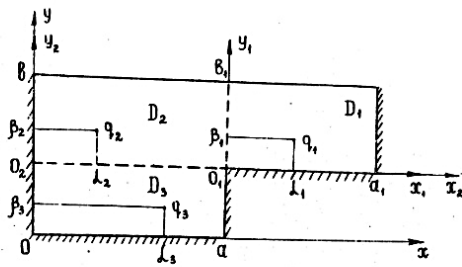


Рис. 3.5. К аппроксимации формы семилукско-бургской залежи Речинского нефтяного месторождения. Заштрихованная часть — линия сброса, остальная часть — контур питания.

ци области  $\mathcal{Q}$  соответствует линиям сброса, на остальной части поддерживается постоянное давление  $P_0$ .

Для получения решения краевой задачи об определении поля давлений в рассматриваемой залежи область  $\mathcal{Q}$  можно разбить на три прямоугольные подобласти  $\mathcal{Q}_s (s=1,3)$  при  $x = a$  и  $y = b - b_s$ . При определении поля давлений вне  $\mathcal{E}_i (i = 1, \bar{3})$  — окрестностей скважин положим, что каждая подобласть  $\mathcal{Q}_s$  вскрывается в точке с безразмерными координатами ( $\alpha_s = \mathcal{L}_s / c$ ,  $\beta_s = \bar{b}_s / c$ ) единственной скважиной — источником (стоком) постоянной интенсивности (действие большого числа скважин учитывается методом суперпозиции решений для отдельных скважин). Затем полученные решения для подобласти "сшиваются" на смежных границах прямоугольников.

Заметим, что расчет поля давлений в области  $\mathcal{Q}$  может быть значительно упрощен, если скважины, расположенные вблизи общей границы  $S$  областей  $\mathcal{Q}_1$ ,  $\mathcal{Q}_2$ , одновременно, мало отличаются дебитами и симметрично расположены относительно границы  $S$ . Поскольку влияние работы удаленных от границы  $S$  скважин на поле давлений незначительно, в этом случае границу  $S$  можно принять за линию симметрии, а область  $\mathcal{Q}$  считать составленной из двух призмоугольников  $\mathcal{Q}_1$  и  $\mathcal{Q}_2 + \mathcal{Q}_3$  с одинаковыми краевыми условиями. Движение в каждой из призмоугольных областей может быть рассчитано, используя решение "P-T0", формулы главы 2 и программу "для ЭВМ", составленную на языке ФОРTRAN.

По данным технической документации семилукско-бургской залежи Речинского нефтяного месторождения в качестве примера использования формулы пункта 2.2 рассчитано проникновение фронта заражения в период с 1965 г. по 1979 г. В качестве такого фронта будем рассматривать источник условной линии, соответствующий 80%-ному обводнению добывающей прокладки (в окрестности этой линии). Расчетные контуры по горизонтали изображены на рис. 3.6. В основу расчета положен: текущие карты изобар, рассчитанные

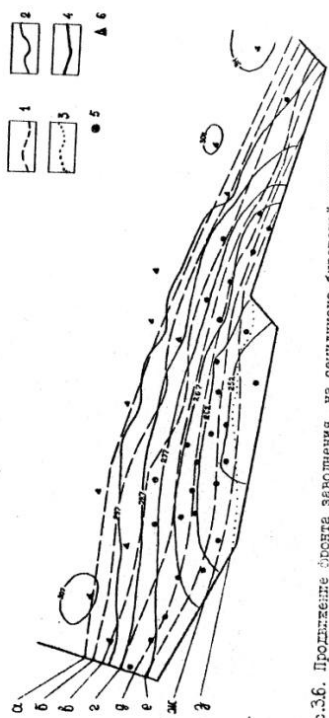


Рис.3.6. Пропадение фронта залива в семилукско-буренской залежи Речицкого месторождения 80%-я обводненность.

1 - Расчетный контур нефтеносности; 2 - линия фронта залива;  
3 - фактический контур нефтеносности по промысловым данным; 4 - линии регионального сброса; 5 - нефтевыемка СВ-1; 6 - наружная граница СВ-1;  
7 - 1965, 8 - 1969, 9 - 1971, 10 - 1973, 11 - 1975, 12 - 1977, 13 - 1979, 14 - фактический контур по состоянию на X.1979г.

по формулам главы 2 (2-10). Схема залежи приведена на рис.3.5. На рис.3.6 для наглядности построено поле давлений по линиям 1973г. За начальное положение контура нефтеносности взят промысловый контур по состоянию на 1965г. Последующие положения построены по результатам продвижения 40 опорных точек, предварительно выбранных на исходной контуре. В расчетах приняты следующие средние параметры:  $m = 0,076$ ;  $\kappa = 0,317 \text{ дж}$ ;  $R = 17,3 \text{ м}$ ;  $P_0 = 302 \text{ атм}$ .

На рис.3.6 также изображен промысловый контур 80%-й обводненности по состоянию на 1979г., построенный по фактическим замерам в скважинах. Из сравнения видно, что фактический, вычисляемый контуры практически близки друг к другу. Вполне удовлетворительное совпадение контуров объясняется тем, что трещинование породы семилукско-буренской залежи наиболее однородны среди карбонатных коллекторов Речицкого нефтяного месторождения, характеризуются меньшей глинистостью и большей выдержанностью по площади. Пластовое давление по семилукско-буренской залежи распределается сравнительно равномерно и не имеет особых аномалий. Залежь представляет собой единую гидродинамическую систему.

Для определения текущего площадного коэффициента охвата заводнением воспользуемся результатами расчета продвижения фронта залива за период с 1965 по 1979г. По замерам площадей, ограниченных начальным и текущими контурами обводненности, и площади области, имеющей своей границей начальный контур нефтеносности и линии регионального сброса, определили коэффициенты охвата по годам. Результаты расчета сведены в табл.5.

#### Таблица 5.

Текущий площадной коэффициент охвата семилукско-буренской залежи Речицкого нефтяного месторождения по результатам продвижения фронта залива

Годы	1965	1969	1971	1973	1975	1977	1979
анти.расч.	0	0,14	0,32	0,46	0,61	0,74	0,85
анти. расчета:	0	0,16	0,29	0,45	0,63	0,71	0,87

Из табл.5 следует, что начиная с 1969г. наблюдается интенсивное обводнение залежи. Следует, отметить, что при таких темпах обводнения в ближайшие годы будет наблюдаться высокое содержание воды во всех нефтяных скважинах этой залежи.

#### Л и т е р а т у р а

1. Абакумов З.А., Горбунов А.Т. Определение параметров трещиноватых пластов. Ежегодник ВНИПи, М., Недра, 1971.
2. Ашурков П.В., Богданов В.А. Геология нефтяных месторождений Белоруссии. М., Недра, 1972.
3. Афанасьевова А.В., Горбунов А.Т., Кустов И.Н. Заводнение нефтяных месторождений при высоких давлениях нагнетания. М., Недра, 1973.
4. Байдаков В.А., Криконосов И.В. Пути повышения производительности нефтяных и признакости нагнетательных скважин в объединении "Белоруснефть". М., ВНИПОИМГ, 1971.
5. Бак А. и др. Влияние свойств горных пород на фильтрацию в них жидкости. М., Гостехиздат, 1972.
6. Баренблэтт Г.И., Еитов В.М., Рыжик В.М. Теория нестационарной фильтрации жидкости и газа. М., Недра, 1972.
7. Блинов А.Ф., Димитров Р.Н. Исследование совместно эксплуатируемых пластов. М., Недра, 1971.
8. Борисов Ю.П., Рябинина З.К., Вонюков В.В. Особенности проектирования разработки нефтяных месторождений с учетом их неоднородности. М., Недра, 1976.
9. Букснерман А.А., Шалимов Б.В. О гидравлическом воздействии на пласт с двойной пористостью при вытеснении нефти водой. Изв. АН СССР, МГТ, 1967, №2.
10. Бузников С.И., Умрихин И.Д. Гидродинамические методы исследования скважин и пластов. М., Недра, 1973.
11. Волжков Г.Г. Разностные методы решения задач разработки нефтяных месторождений. М., Недра, 1970.
12. Гусейнзаде М.А., Колосовская А.К. Упругий режим в однопластовых и многопластовых системах. М., Недра, 1972.
13. Гусейнзов Г.И. Некоторые вопросы гидродинамики нефтяного пласта. Баку, Азнефтегизлит, 1961.
14. Денисов К.И. Разработка нефтяных месторождений. М., Недра, 1977.
15. Еитов В.М., Мирзаджанзаде А.Л., Мишевич В.И. Об искривлении клиникаторных диаграмм скважин в трещиновато-пористых

- тих коллекторах. Сб. "Вопросы нелинейной фильтрации для нефтяных и газовых месторождений". ИГиРГИ, М., 1972.
16. Желтев Ю.П. Деформации горных пород. М., Недра, 1966.
  17. Кисель В.А., Абрамов В.С. Некоторые вопросы проектирования и анализа разработки водонапоражающих нефтяных залежей. Тр. УкрНИИЦД, вып. I, М., 1968.
  18. Кисляков В.П., Демин И.В., Русских В.Н. Влияние градиентов давления на величину параметров пласта на Туймазинском месторождении. ИХ, № 2, 1964.
  19. Котяков Ф.И. Оценка трещиноватости горных пород в природных условиях гидродинамическими методами. "Геология нефти и газа", № 1, 1972.
  20. Криконосов И.В., Балакирев Ю.А. Освоение, исследование и эксплуатация многопластовых скважин. М., Недра, 1975.
  21. Крылов А.П. и др. Проектирование и разработка нефтяных месторождений. М., Гостоптехиздат, 1962.
  22. Курбанов А.К. и др. Методы расчета технологических показателей разработки трещиновато-пористых коллекторов. Тр. ВНИИНефти, вып. 61, М., 1976.
  23. Лебединец Н.П. и др. Особенности фильтрации в трещиноватых породах. ИХ, № 6, 1968.
  24. Лиффсон Л.С. Собрание трудов, т. II. Подземная гидродинамика, подземная гидравлика. Изд. АН СССР, 1953.
  25. Ломизе Г.М. Фильтрация в трещиноватых породах. М., Госэнергоиздат, 1951.
  26. Лукашев К.И. и др. Нефть Белоруссии. Минск, Наука и техника, 1969.
  27. Майдебор В.Н. Разработка нефтяных месторождений с трещиноватыми коллекторами. М., Недра, 1971.
  28. Максимов М.М., Расицкая Л.П. Математическое моделирование процессов разработки нефтяных месторождений. М., Недра, 1976.
  29. Мирзаджанзаде А.Х. и др. Особенности эксплуатации месторождений аномальных нефтеей. М., Недра, 1972.
  30. Неказная Л.Г. Фильтрация жидкости и газа в трещиноватых коллекторах. И., Недра, 1972.

31. Оноприенко В.П. и др. Результаты пробной эксплуатации и составление технологической схемы разработки Речицкого нефтяного месторождения. Труды УкраНИИЦД, вып. 3, М., Недра, 1969.
32. Пилатовский В.П. Основы гидромеханики тонкого пласта. М., Недра, 1966.
33. Розенберг М.Д. и др. Фильтрация газированной жидкости и других многокомпонентных смесей в нефтяных пластах. М., Недра, 1969.
34. Рома Е.С. Фильтрационные свойства трещиноватых горных пород. М., Недра, 1966.
35. Сеттаров М.М. и др. Проектирование разработки крупных нефтяных месторождений. М., Недра, 1969.
36. Солдатов Н.Д. и др. Особенности разработки и эксплуатации месторождений с трещиноватыми коллекторами. М., Недра, 1975.
37. Справочное руководство по проектированию разработки и эксплуатации нефтяных месторождений. Под ред. Ш.К. Гиметулдинова, М., Недра, 1983.
38. Сургучев М.Л. Импульсное (циклическое) воздействие на пласт как метод повышения нефтеотдачи. ИХ, № 3, 1965.
39. Усенко В.Ф. Исследование нефтяных месторождений при давлении ниже давления несыщения. М., Недра, 1967.
40. Форхгеймер Ф. Гидравлика. М.-Л., ОНТИ, 1935.
41. Чарнич И.А. Основы подземной гидравлики. М., Гостоптехиздат, 1966.
42. Шаймуратов Р.В. Краевые задачи подземной гидродинамики. Изд-во Гомельского ун-та, Гомель, 1976.
43. Шаймуратов Р.В. Гидродинамика нефтяного трещиноватого пласта. М., Недра, 1980.
44. Шайлер М.И., Баллев Б.Т. О некоторых задачах оптимизации разработки нефтяных месторождений. М., Труды ВНИИ, вып. II, 1976.
45. Шелкачев В.Н. Разработка нефеводонесущих пластов при упругом режиме. М., Гостоптехиздат, 1959.
46. Gartman J. Estimating coefficient of inertial resistance in fluid flow through porous media. Soc. Petrol. Engng. J., 1974, v. 14, # 6.

СОДЕРЖАНИЕ

Введение.....	3
I. Особенности фильтрации в трещиноватых породах.....	5
2. Математическое моделирование при расчете показателей разработки.....	15
2.1. Использование метода суперпозиции при исследовании поля течения.....	15
2.2. Прогнозирование потерь нефти при вытеснении ее водой.....	23
3. Расчет практических примеров.....	28
3.1. Поле пластовых давлений на Вишненском месторождении.....	28
3.2. Результаты промышленного внедрения оптимального варианта режимов работы скважин на Вишненском месторождении, рассчитанного по разработанной методике.....	31
3.3. Расчет продвижения границы раздела жидкостей и коэффициента охвата пласта заливанием не при мере продуктивной залежи Речникского месторождения.....	39
Литература.....	45

Учебно-методическая разработка к курсу "Математическое моделирование процесса разработки залежей нефти (на примере месторождения БСР)" для студентов пятого курса геологического факультета  
автор разработки Рафат Вафаевич Баймуратов

Подписано к печати 03.09.87. Формат 60x84 1/16. бумага  
пастель 5 л. Печать офсетная Усл.п.л. 2,6. Уч.-изд.л. 2,6.  
Издак 100. Заказ 217. Бесплатно.

отпечатано на ротапринте ГГУ, г.Гомель, ул.Советская, 104

РЕПОЗИТОРИЙ ГГУ